

# 限界掃流力 概念에 依한 安全開水路 設計法

## Design of Stable Open Channels Using Critical Tractive-Force Concept

劉 漢 烈\*, 朴 承 禹\*  
Han Yeol Ryu, Seung Woo Park

\* 本資料는 美國土木學會誌에서 拔萃譯譲한 것임  
灌漑 및 排水用 開水路는 지금까지 대부분 經驗의  
方法으로 設計하여 왔다. Smerdon氏는 말하기를 最  
大流量이 흐르면서 洗掘에 대하여 安全한 水路設  
計에서는 다른 어느 構造物보다 確實히 物理的인 資  
料를 적게 썼다는 것이다.

대부분의 開水路의 축조에 使用되는 士材料의 特性 특히 洗掘抵抗力 등의 變化에 대하여 開水路 設計에 있어서 적절한 工學的分析이 必要하다.

Fortier와 Scobey氏는 1926年 開水路設計에 경験을  
가진 美國西部의 水理 담당관들에 設問을 보내어 士재  
료로 구축된 水路에 대하여 最大許容平均流速의 측정  
을 의뢰하였다. 이에 應한 10餘名의 技術者들의 結果  
는 지난 40餘年間 開水路 設計의 基本資料가 되었다.

지난 15年間 理論的方法을 利用한 安全開水路 設  
計가 實驗研究에 상당한 注目을 받았지만 광범위하  
게 채택되지는 않았다. 1955年 Lane氏는 限界掃流力  
概念을 利用한 安全開水路 設計에 關한 研究를 發表  
하였다. 以後 여러 학자들이 安全開水路 設計에 掃  
流方法의 利用을 제창하여 왔다.

安全開水路라 함은 洗掘이나 堆積이 매우 느린 水  
路를 말한다. 實驗研究에 依하면 어느 일정 剪斷力에  
이르는 동안까지는 堆積이나 洗掘은 매우 느린 speed  
로 일어나지만 이剪斷力의 값以上에 이르면 웨센 빠  
른 speed로 일어난다. 이때剪斷力은 물의 運動에 依  
하여 潛邊에 作用하는 힘이다. 限界掃流力은 水路의  
구성 士의 特性에 左右된다.

河床材料의 限界掃流力에 關한 現場實驗이 부족한

경우에는 開水路 設計에 이 方法을 使用하는 것은  
制限이 있게 된다. 그러나 Masch et al氏는 安全開  
水路의 設計者는 完全한 解析法이 나올때까지 기다  
리고 있을 수 있고 充分한 資料를 가지고 經濟의이고  
活用의 設計를 하도록 추구하여야 한다고 말했다.

本資料의 目的은 限界掃流力概念에 依한 安全開水  
路設計를 위하여 基本的이고 간단한 節次를 提供하는  
데 있다. 따라서 掃流力의 理論은 여기에서 언급하  
지 않을 것이다. Lane, Chow 및 Douft氏는 等流에  
對한 理論을 提出, 그리고 Smerdon과 Beasley氏 등은  
不等流에 对한 掃流力 理論을 發表하였다. McCool  
과 Beasley氏 등은 3次元 흐름에 關한 掃流力 理論  
을 發表하였다.

### 1. 設計曲線의 誘導

設計曲線은 安全開水路 設計에 掃流力法을 利用  
하기 위한 것이다. 다음에서 設計曲線의 유도를 살  
펴보기로 한다.

#### (1) 水路의 바닥과側面의 掃流力決定

等流의 경우, 무한히 넓은 水路에서 掫流力  $T$ 는  
$$T = rdS_0 \dots \dots \dots (1)$$

여기서  $r$ : 물의 比重,  $d$ : 流深,  $S_0$ : 等流時 水  
路傾斜에 대한 에네지傾斜이다. 한편 위의 (1)式에  
서 얻은 掫流力은 무한히 크지 않은 水路의 掫流力  
보다는 큰 값이다. Schoklitsch는 水路幅과 水深의  
比가 30以上인 水路는 무한히 넓은 水路라 했다. 따  
라서, 이를 區分하기 위하여 무한히 넓은 水路의 掫  
流力を  $T_\infty$ , 其他의 경우를  $T_e$ 로서 나타낸다.

用水路나 排水路는 粘土 또는 粘性質이 않은 흙으

로 축조한다. 水路축조에 가장 적절한 土性에 관한研究는 없지만 用水路調査 및 現場시험에 따라서土壤의 塑性은 土壤의 침식저항력에 比例함이 밝혀졌다. 塑性係數는 土壤의 塑性을 表示하는 土質力學的인 性質이며 最大掃流力에 比例한다. 그림(1)은 掃流力과 塑性係數의 關係를 보여준다. 그러나 이曲線은 粘質上이 安全開水路 設計에만 使用할 수 있다.

그림 1은 土壤의 塑性係數에 對한 最大掃流力의 값을 計算할 때 이용될 수 있다. 즉 幅이 큰 水路의 最大許容水深  $d$ 는 式(1)에서  $d = T_c / rS_0$ 로 얻어진다. 其他 水路에는 水路의 벽과 바닥에 作用하는 掫流力分布를 決定한 Olsen과 Florey의 研究에 근거를 둔 Lane의 수정치를 적용한다. 수정치  $c$ 는 바닥의 幅과 水路의 水深의 比  $b/d$ 와 函數關係를 가진다(그림 2). 그림 2는 기울기와 水深이 같은 水路와 무한넓이의 水路에 대한 掫流力의 比로 水路에 作用하는 最大掃流力의 値이다. 例로서 그림 2에서  $b/d = 3$ 인 사다리형 水路의 바닥에 作用하는 最大掃流力은  $d, S_0$ 가 같은 무한넓이의 水路에 대한 0.95掃流力의 値이 된다. 따라서 그림 2는 限幅의 水路設計에서 掫流力의 決定에 利用될 수 있다. 이때 側邊의 종좌표  $C_s$ (그림 2A)와 바닥의 종좌표  $C_b$ (그림 2B)를 비교하여 庫값을 指한다. 그理由는 가장 작은 掫流力과 水路의 洗掘點을 表示하기 때문이다. 掫流力  $T_c$ 는  $T_c$ 를  $C_s$ 나  $C_b$ 로 나눈 値으로

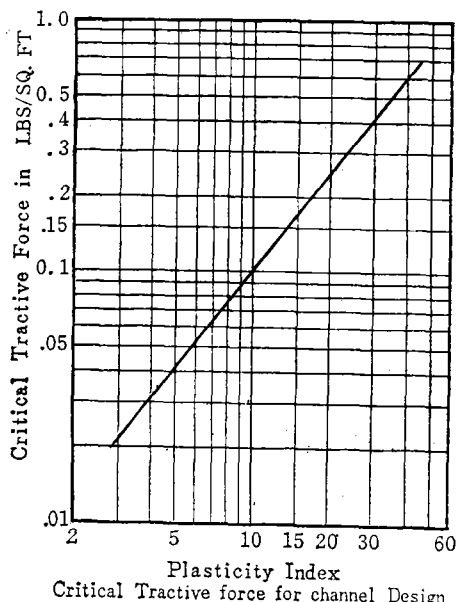


그림 1. 水路設計量 위한 限幅掃流力

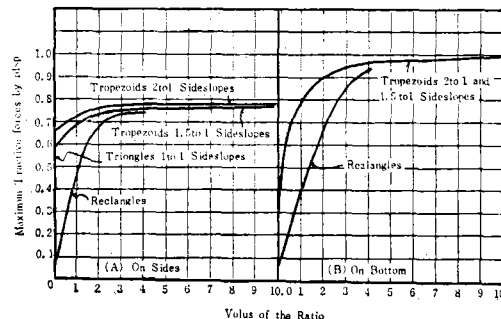


그림 2. 水路의 最大掃流力

$$\text{즉 } T_c = \frac{T_c}{C} \dots \dots \dots (2)$$

$b/d$ 比가 3, 側面비탈傾斜가 1:2인 사다리形 水路의 경우  $C_s$ 는 0.77이고  $C_b$ 는 0.95이다. 따라서 이때의 掫流力은  $T_c/0.95$ 이며 이  $b/d$ 比를 가진 水路設計의 値으로 利用한다.

## 2. 設計流量의 決定

開水路 設計에 있어서 조절가능한 因子중의 하나는 水路內의 流速이다. 排水時 容量은 流域과 降雨現象에 영향을 받는다. 한편 灌溉의 경우는 最大需要期間과 灌溉面積內의 作物의 물 所要量에 따라 必要容量을 決定한다. 地形地質에 따른 地域別 設計曲線이 必要할 것이며, 美國의 境遇 Chow의 最大流出量決定曲線이 있다.

## 3. 水路 칫수의 決定

水路의 칫수는 지금까지 試算法에 依하여 決定하여 왔다. 이事實을 감안하여 4개의 曲線이 安全開水路設計에 作用할 수 있도록 發展되었다. 이曲線(그림 3)은

A部 : 流速-傾斜曲線(매개변수 動水句配)

B部 : 水深-傾斜曲線(매개변수 掫流力)

C部 : 流速-面積曲線(매개변수 流量)

D部 : 水深-面積曲線(매개변수 動水句配)

A, C, D部는 開水路의 水理表에서 얻어졌다. B部는 무한넓은 水路에 대한 掫流力  $T$ 를 式(1)에서 얻은 것이다. 따라서, 其他水路에 대한 掫流力 計算에 利用할 수 있다.

<u>SECTION A</u>	<u>SECTION B</u>
Velocity-Slope Curves with hydraulic radius as a parameter and $n = 0.035$ $n = 0.040$	Depth-Slope Curve with tractive force as a parameter
<u>SECTION C</u>	<u>SECTION D</u>
Velocity-Area Curve with discharge as a parameter	Depth-Area Curves with hydraulic radius as a parameter and Side Slopes = $1:1$ Side Slopes = $1\frac{1}{2}:1$ Side Slopes = $2:1$

그림 3. 設計曲線의 안내도

各部는 그림 3과 같이 獨立된 曲線이다. A部는 2개의 曲線으로 되어 있으며 manning係數  $n=0.035$  인 경우와  $n=0.040$ 의 경우가 그것이다. D部는 側面의 傾斜  $1:1$ ,  $1:1.5$ , 과  $1:2$ 인 각각의 曲線으로 3個의 曲線이며, B,C部는 하나의 曲線으로 되어 있다.

이 曲線의 有用을 위하여 각각의 設計曲線에 그림 3과 같이 表示되어 水平과 垂直線이 그림 4에서와 같이 정렬되어 있다.

표 1 開水路의 側面傾斜

Soil	Side slopes	
	Shallow channels (up to 4ft)	Deep channels (4ft and over)
Peat and muck	Vertical	$\frac{1}{4}:1$
Stiff (heavy) clay	$\frac{1}{2}:1$	$1:1$
Clay or silt loam	$1:1$	$1\frac{1}{2}:1$
Sandy loam	$1\frac{1}{2}:1$	$2:1$
Loose sand	$2:1$	$3:1$

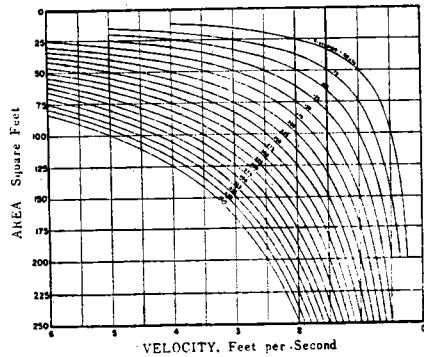
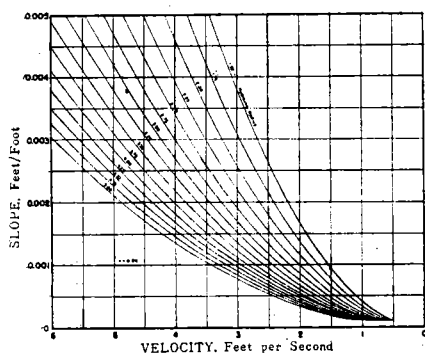


FIG. 4 Example of layout for design curves.

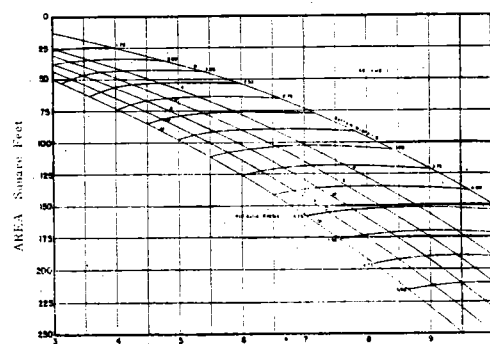
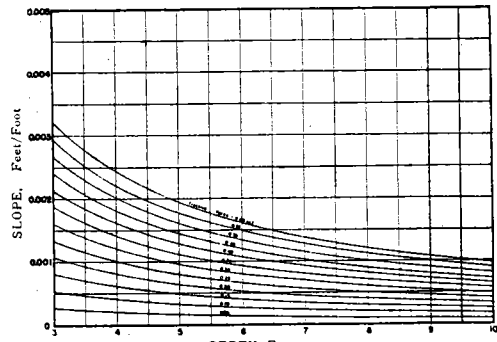


그림 4. 設計曲線의 圖示例

#### 4. 設計方法(Procedure)

주어진 設計曲線과 數表를 利用하여 安全開水路를 設計하기 위한 일련의 段階는

- (1) 流量  $Q_r$ 를 決定한다.
- (2) 限界掃流力  $T_c$ 를 구한다. (그림 1)  
가) 限界掃流力은 주어진 開水路 부지에 對한 基本調查를 實施하여 決定한다. 이때 흙의 標本은 水路의 전길이에 걸친 設計깊이 地點으로부터 수집하여 粘性材料에 對한 彈性係數를 決定하도록 土質實驗所에 의뢰한다. 또한 現在 設計基準의 調整에서 장차 使用할 수 있도록 더욱 正確한 資料를 얻을 수 있도록 公共비, 粘土합량등의 자료도 要求된다.

- (3) 水路傾斜를 選擇한다 (最初 부지의 平均傾斜 고려)

- (4) 調整掃流力  $T_c$ 를 求한다.

(가)  $b/d$ 比를 決定한다. 水理學上 有利한 斷面은  $b=2d\tan\theta$ 로 表示되는 出發點을 使用하라. (여기서  $\theta$ 는 축면경사에 水平角이다.) 所要 容量에 맞도록  $b/d$ 比를 조정한다. (側面傾斜는 表 1를 參考한다)

(나) 주어진  $b/d$ 比에 따라 그림 2-A, 2-B의 종좌표에서  $C_s$ 나  $C_b$ 를 구하여 큰값을 택한다.

- (다) 調整掃流力  $T_c = T_c/c$ .

- (5) 許用 最大길이를 決定한다. (B部 設計曲線)

- (가) 종좌표에 水路의 設計傾斜를 表示한다.

(나) 右側으로 平行하게 線을 그어 計算된 調整掃流力  $T_c$ 를 얻는다.

(다) 이 點에서 垂直下方의 曲률을 읽으면 設計傾斜에 대한 최대길이이다.

(6) 바닥나비, 動水半徑, 斷面積을 決定한다. (O部 設計曲線)

(가) 5段階에서 얻은 最大길이로 부터 垂直으로 그어 4段階에서 使用된  $b/d$ 比로 計算된 바닥나비를 구한다.

- (나) 補間法을 써서 動水半徑을 決定한다.

(다) 6 가점에서 얻은 水深과 바닥나비의 交點에서 水平線을 그어 만난 종좌표를 읽어 斷面積을 決定한다.

註: 使用된 側面傾斜에 대한 正確한 設計曲線을 사용하였는가 確認한다.

- (7) 水路流速을 決定한다. (A部 設計曲線)

(가) 3段階로 부터 傾斜를 얻는다. 傾斜의 종좌표값에서 水平線을 그어 (6) 나段階에서 얻은 動水半徑값과의 交點을 구한다.

- (나) 이 交點에서 垂直으로 그어 曲률값을 읽으

면 그값이 水路流速의 平均값이다.

- (8) 水路容量  $Q_r$ 의 決定(C部 設計曲線)

(가) 曲률의 流速(7나段階에서 얻음)에서 垂直線을 그어 斷面積(6나段階에서 얻음)의 水平延長과의 交點을 구한다.

(나) 이 交點에서 얻은 容量에 對한 流量曲線사이는 補間法으로 計算한다.

(9) 이 容量  $Q_r$ 는 第1段階에서 決定한 設計流量  $Q_r$ 에 반드시 거의 같은 값이어야 한다. 無約 그렇지 않으면, 水理學上有利한 斷面을 반드시 采り야 한다.

註: 5%의 許用值는 임의로 選擇한다. 그러나, 其他 限界는 아래 條件에 따라 의존하는 것이 바람직한바,

$Q_r > Q_r$ 인 경우는  $b$ 를 감하고,

$Q_r < Q_r$ 인 경우는  $b$ 를 가산한다.

따라서, 다시 4段階에서 8段階를 반복하여  $Q_r - Q_r < 5\%Q_r$ 이 되도록 한다.

註: 傾斜를 調整할 必要가 있을 경우에는 3段階에서 8段階까지를 반복하여야 한다.

以上의 設計方法을 例題로 풀면:

例題:

流量  $170\text{ft}^3/\text{sec}$ 를 가진 安全開水路를 設計하려 한다. 豫定水路의 地面傾斜은 0.001이다. 豫定水路의 5ft 깊이에서 얻은 흙의 標本으로부터 土質實驗結果 그塑性係數는 17이었다. 土壤型은 식양토이며 manning係數는  $n=0.04$ 를 써라.

解法:

設計方法에 따라 段階別로 展開하면:

第1段階:  $Q_r = 170\text{ft}^3/\text{sec}$

第2段階:  $T_c = 0.20$  (그림 2)

第3段階:  $S = 0.001$

第4段階: (가) 側面傾斜  $ss = 1 : 1.5 (d > 4\text{ft} \text{ 가정 시})$

水理學上 有利한 斷面은

$$b = 2d \tan \frac{\theta}{2}$$

$$\tan \theta = \frac{2}{3}, \theta = 33.6^\circ, \frac{\theta}{2} = 16.8^\circ$$

$$b = 2d \tan 16.8^\circ = 2d(0.302)$$

$$\frac{b}{d} = 0.604$$

따라서  $b/d = 0.6$ 을 쓰자.

(나) 最大 종좌표  $c$ 는 그림 2에서

$$C_b = 0.70, C_s = 0.66$$

$C_b > C_s$ 이니  $C_b$ 를 쓴다.

$$(다) T_c = \frac{T_c}{C_b} = \frac{0.20}{0.70} = 0.29$$

第5段階: 最大길이 =  $4.7\text{ft}$  (B部 設計曲線)

第6段階: (가)  $b = (0.6) \times (4.7) = 2.82\text{ft}$ 가 水理

學上 有利한 斷面이니

$b=4\text{ft}$ 를 쓰자(現地條件上 設計最少值)

4ft의 實제 最小바닥 나비를 使用하면  $b/d$ 가 變하므로 4段階에서 5段階는 다시 계산한다.

第4段階: (나) 새로운  $b/d=4/4.7=0.85$ 이니  $C_b=0.76$ ,  $C_r=0.68$

$C_b > C_r \therefore C_b$ 를 쓰자.

$$(다) T_a = \frac{0.20}{C_b} = \frac{0.20}{0.76} = 0.26,$$

第5段階: 最大깊이 = 4.2ft (B部 設計曲線)

(나) 水理半徑 == 2.25ft (D部 設計曲線)

(다) 斷面積 = 43ft<sup>2</sup> (D部 設計曲線)

7段階: 流速 = 2.0ft/sec (A部 設計曲線)

第8段階:  $Q_p=85\text{ft}^3/\text{sec}$  (C部 設計曲線)

第9段階:  $Q_r=170\text{cfs}$ .

$Q_p < Q_r$ 이니 容量을 증가시켜야 한다.

註: 이때 우리는 2 가지의 可能한 變數를 가지고 있다. 즉

(1) 바닥나비  $b$ 를 늘이거나,

(2) 傾斜를 줄여서 最大許用 깊이를 늘이는 것이다. 여기서 각각의 경우를考慮하여 보기로 하자.

(1)의 경우, 4段階에서 9段階까지 反復하면

第4段階: (가)  $b=10\text{ft}$ 로 하면

$$\frac{b}{d} = \frac{10}{4.2} = 2.4$$

(나) 最大종좌亞值  $c$ 는(그림 2)

$$C_b=0.92, C_r=0.74$$

$C_b > C_r \therefore C_b$ 를 쓰자.

$$(다) T_a = \frac{T_c}{C_b} = \frac{0.20}{0.92} = 0.22,$$

第5段階: 最大깊이 = 3.5ft (B部 設計曲線)

第6段階: (가)  $b=10\text{ft}$

(나) 水理半徑 = 2.35ft (D部 設計曲線)

(다) 斷面積 = 54ft<sup>2</sup> (D部 設計曲線)

第7段階: 流速 = 2.05ft/sec (A部 設計曲線)

第8段階:  $Q_p=110\text{ft}^3/\text{sec}$  (C部 設計曲線)

第9段階:  $Q_r=170\text{ft}^3/\text{sec}$

$Q_p < Q_r \therefore$  용량은 아직 더 증가시켜야 한다.

傾斜度 0.001을 써서 바닥나비를 충분히 증가시킬必要가 있었다. 따라서 다음段階는 可能하면 傾斜를 줄여보자. 이것은 第2段階에서 表示한 두체의 變數이다. 이제 傾斜를 0.0007로 하고 바닥나비를 4ft를 쓰자. 이때  $T_a$ 는 바닥나비 4ft와 傾斜 0.001의 종전의 값을 사용한다. 最大깊이를 얻기 위하여 새

로운 傾斜를 써서 5段階부터 반복하자. 그러면 4段階에서 9段階를 반복하면:

第5段階:  $T_a=0.26$ 인 경우 最大깊이 = 5.9ft.

새로운  $T_a$ 를 求하기 위해 4段階로 돌아와서:

$$第4段階: (가) \frac{b}{d} = \frac{4}{5.9} = 0.68$$

(나) 最大  $C$ 值(그림 2)

$$C_b=0.71, C_r=0.65,$$

$C_b > C_r \therefore C_b$ 를 쓰자.

$$(다) T_a = \frac{T_c}{T_b} = \frac{0.20}{0.71} = 0.28,$$

第5段階: 最大깊이 = 6.6ft (B部 設計曲線)

第6段階: (가)  $b=4\text{ft}$

(나) 水理半徑 = 3.30ft (D部 設計曲線)

(다) 斷面積 = 92ft<sup>2</sup> (D部 設計曲線)

第7段階: 流速 = 2.2ft/sec (A部 設計曲線)

第8段階:  $Q_p=200\text{ft}^3/\text{sec}$  (C部 設計曲線)

第9段階:  $Q_r=170\text{ft}^3/\text{sec}$

$Q_p - Q_r = 30\text{ft}^3/\text{sec}$ 이니  $Q_p - Q_r > (Q_r의 5\%)$

이 設計方法에서 最大깊이를 6.6ft로 決定하였다.

주어진 容量이 要求容量보다 크기 때문에 設計깊이는 要求容量과 같은 容量을 갖도록 줄일 수 있다.

有意하여 아할 點은 깊이 5.9ft에서 얻은  $T_a=0.28$ 에서 깊이 6.6ft값을 決定한 것이다. 다시한번 4와 5段階를 반복하면  $b/d$ 比가 적을수록  $T_a$ 값이 증가한다. 따라서 깊이를 줄일수 있다.  $Q_p - Q_r > 5\%$ 인 때는 4,5段階를 반복하여 最大깊이에서 어떤 變化가 없도록 한다. 그때, 만약  $Q_p - Q_r$ 가 5%보다 큰 값이면, 바닥나비나 傾斜를 부지조건에 따라 變化시킬 수 있다.

例題의 最終 設計의 變數를 고려하면 傾斜 0.0008이 有意하게 된다. 이때 設計方法에 따라 4ft바닥수로의 公급 容量은 130ft<sup>3</sup>/sec이다. 바닥나비 6ft의 경우 容量은 165ft<sup>3</sup>/sec가 되며 적절한 값이다. 結論的으로 아래 주어진 設計條件이 적절하다고 고려된다.

傾斜 = 0.0007

바닥나비 = 4ft,

깊이 = 6.2ft

側面 傾斜 = 1 : 1.5이나 또는

傾斜 = 0.0008

바닥나비 = 6ft

깊이 = 5.4ft

側面傾斜 = 1 : 1.5